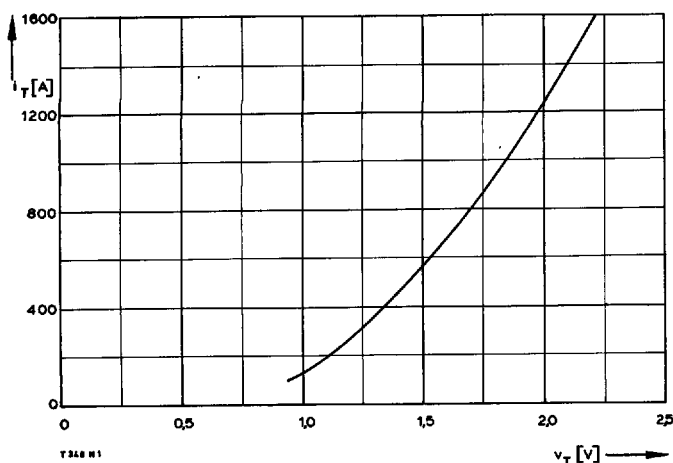


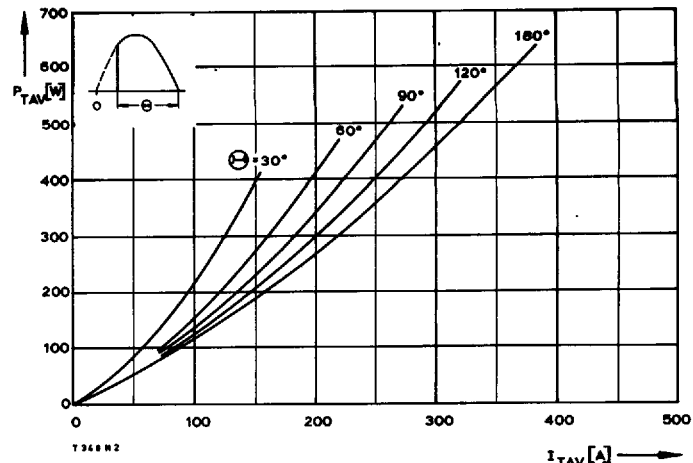
Type Range	T 348 N	100	200	400	600
Elektrische Eigenschaften	Electrical properties				
Höchstzulässige Werte	Maximum permissible values				
V_{DRM} , V_{RRM} Periodische Vorwärts- und Rückwärts-Spitzenperrspannung	repetitive peak forward off-state and reverse voltages			100...600	V
I_{TRMSM} Effektiver Durchlaßstrom	RMS on-state current			600	A
I_{TAVM} Dauergrenzstrom	average on-state current	$t_C = 85^\circ\text{C}$		348	A
I_{TRM} Periodischer Spitzenstrom	repetitive peak on-state current	$t_C = 63^\circ\text{C}$		382	A
I_{TSM} Stoßstrom-Grenzwert	surge current	$t_p = 10 \text{ ms}, t_{vj} = 45^\circ\text{C}$		3600	A
$\int i^2 dt$ Grenzlastintegral	$\int i^2 dt$ -value	$t_p = 10 \text{ ms}, t_{vj} = t_{vj \max}$		4600	A
$(di/dt)_{cr}$ Kritische Stromsteilheit	critical rate of rise of on-state current	$t_p = 10 \text{ ms}, t_{vj} = t_{vj \max}$		4000	A
$(dv/dt)_{cr}$ Kritische Spannungssteilheit	critical rate of rise of off-state voltage	nicht periodisch/non repetitive Dauerbetrieb/continuous operation, $i_{TM} = 1100 \text{ A}$, $v_L = 10 \text{ V}$, $i_G = 0,6 \text{ A}$, $di_G/dt = 0,6 \text{ A}/\mu\text{s}$ $v_D = 67\% V_{DRM}$, $t_{vj} = t_{vj \max}$ 5. Kennbuchstabe/5th letter C		106000	A^2s
		5. Kennbuchstabe/5th letter F		80000	A^2s
				1000	$\text{A}/\mu\text{s}$
				200	$\text{A}/\mu\text{s}$
				400	$\text{V}/\mu\text{s}$
				1000	$\text{V}/\mu\text{s}$
Charakteristische Werte	Characteristic values				
V_T Obere Durchlaßspannung	max. on-state voltage	$t_{vj} = 25^\circ\text{C}, i_T = 1100 \text{ A}$		1,92	V
$V_{(TO)}$ Schleusenspannung	threshold voltage	$t_{vj} = t_{vj \max}$		1	V
r_T Ersatzwiderstand	slope resistance	$t_{vj} = t_{vj \max}$		0,7	$\text{m}\Omega$
V_{GT} Obere Zündspannung	max. gate trigger voltage	$t_{vj} = 25^\circ\text{C}, v_D = 6 \text{ V}, R_A = 5 \Omega$		2	V
I_{GT} Oberer Zündstrom	max. gate trigger current	$t_{vj} = 25^\circ\text{C}, v_D = 6 \text{ V}, R_A = 5 \Omega$		150	mA
	Unterer Zündstrom	min. gate trigger current	$t_{vj} = t_{vj \max}, v_D = 6 \text{ V}, R_A = 5 \Omega$	10	mA
I_H Oberer Haltestrom	max. holding current	$t_{vj} = 25^\circ\text{C}, v_D = 6 \text{ V}, R_A = 5 \Omega$		200	mA
I_L Oberer Einraststrom	max. latching current	$t_{vj} = 25^\circ\text{C}, v_D = 6 \text{ V}, R_{GK} \geq 10 \Omega$		800	mA
i_D, i_R Oberer Vorwärts- und Rückwärts-Sperrstrom	max. forward off-state and reverse currents	$i_G = 0,6 \text{ A}, di_G/dt = 0,6 \text{ A}/\mu\text{s}, t_g = 20 \mu\text{s}$		20	mA
t_{gd} Oberer Zündverzug	max. gate controlled delay time	$t_{vj} = t_{vj \max}, v_D = V_{DRM} (v_R = V_{RRM})$		3	μs
t_q Typische Freiwerdezeit	typical turn-off time	$i_G = 0,6 \text{ A}, di_G/dt = 0,6 \text{ A}/\mu\text{s}$		200	μs
C_{null} Typische Nullkapazität	typical zero capacitance	Prüfbedingungen/test conditions 3.4.3.4		3	nF
		$t_{vj} = 25^\circ\text{C}, f = 10 \text{ kHz}$			
Thermische Eigenschaften	Thermal properties				
R_{thJC} Innerer Wärmewiderstand für beidseitige Kühlung	thermal resistance, junction to case for two-sided cooling	$\Theta = 180^\circ\text{el, sinus}$		$\leq 0,1$	$^\circ\text{C}/\text{W}$
$R_{thJC(A)}$ für anodenseitige Kühlung	for anode-sided cooling	DC		$\leq 0,092$	$^\circ\text{C}/\text{W}$
$R_{thJC(K)}$ für kathodenseitige Kühlung	for cathode-sided cooling	$\Theta = 180^\circ\text{el, sinus}$		$\leq 0,18$	$^\circ\text{C}/\text{W}$
R_{thCK} Wärmewiderstand für einen Übergang zwischen Gehäuse und Kühlkörper	single sided thermal resistance,	DC		$\leq 0,17$	$^\circ\text{C}/\text{W}$
$t_{vj \max}$ Höchstzul. Sperrschichttemperatur	case to heatsink	$\Theta = 180^\circ\text{el, sinus}$		$\leq 0,213$	$^\circ\text{C}/\text{W}$
$t_{vj op}$ Betriebstemperatur	max. junction temperature	DC		$\leq 0,205$	$^\circ\text{C}/\text{W}$
t_{stg} Lagertemperatur	operating temperature			0,03	$^\circ\text{C}/\text{W}$
	storage temperature			140	°C
				-40	...+140°C
				-40	...+140°C
Mechanische Eigenschaften	Mechanical properties				
G Gewicht	weight				70 g
F Anpreßkraft	clamping force			3...4,5	kN
Maßbild	outline	DIN 41814-151 A 4		Seite/page	240
Kriechstrecke	creepage distance			17 mm	
Feuchtekategorie	humidity classification	DIN 40040			C
Schüttelfestigkeit	vibration resistance	f = 50 Hz			5x9,81 m/s ²

T 348 N

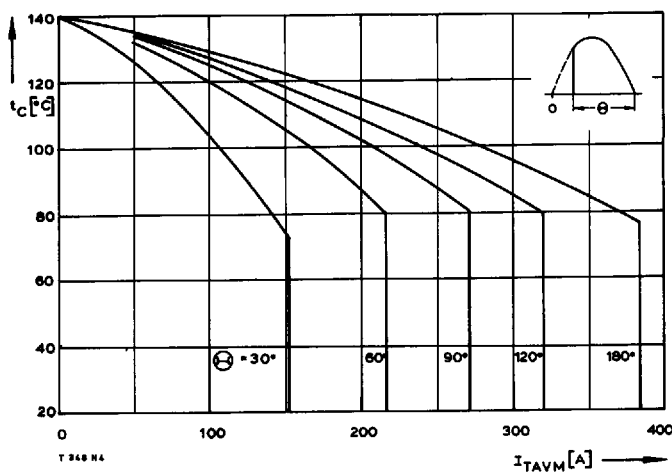
T-25-19



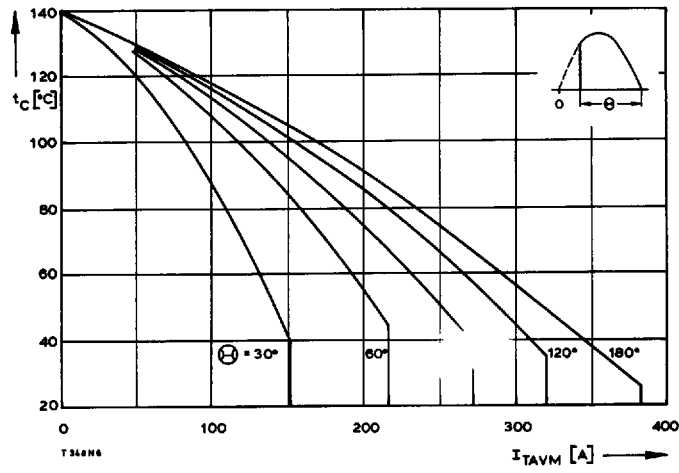
Bild/Fig. 1
Grenzdurchlaßkennlinie bei $T_{j\max}$
Max. on-state characteristic at $T_{j\max}$



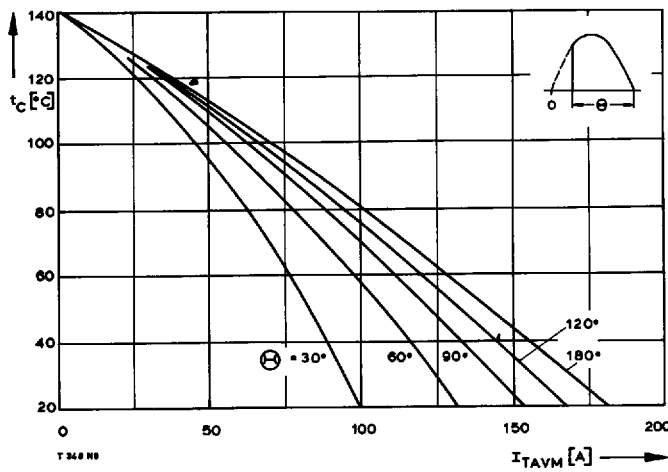
Bild/Fig. 2
Durchlaßverlustleistung P_{TAV} /On-state power loss P_{TAV}
Parameter: Stromflußwinkel θ /current conduction angle θ



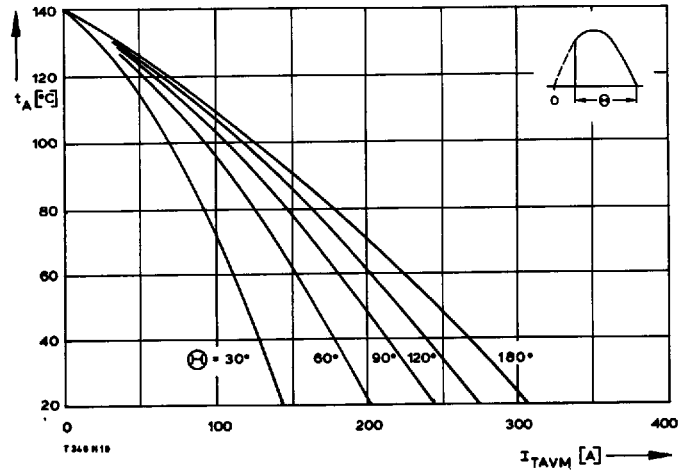
Bild/Fig. 3
Höchstzulässige Gehäusetemperatur t_c bei beidseitiger Kühlung
Maximum allowable case temperature t_c at two-sided cooling



Bild/Fig. 4
Höchstzulässige Gehäusetemperatur t_c bei anodenseitiger Kühlung
Maximum allowable case temperature t_c at anode sided cooling

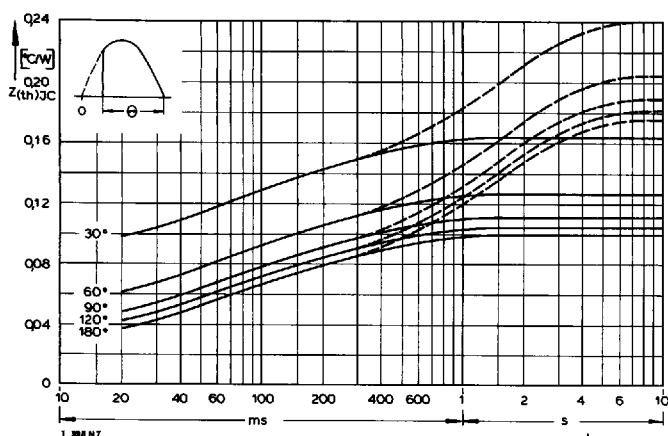


Bild/Fig. 5
Höchstzulässige Kühlmitteltemperatur t_A bei beidseitiger Luftselbstkühlung,
Kühlkörper K 0,36 S.
Maximum allowable cooling medium temperature t_A at natural two-sided cooling,
heatsink type K 0.36 S.



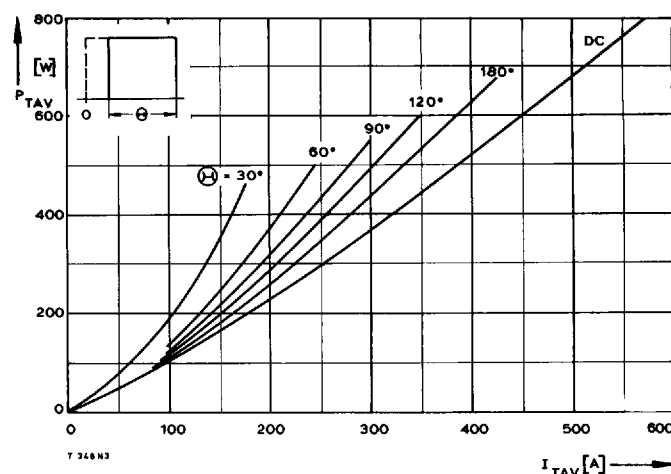
Bild/Fig. 6
Höchstzulässige Kühlmitteltemperatur t_A bei verstärkter beidseitiger Luftkühlung,
Kühlkörper K 0,12 F, $V_L = 50$ l/s.
Maximum allowable cooling medium temperature t_A at forced two-sided cooling,
heatsink type K 0.12 F, $V_L = 50$ l/s.

T-25-19



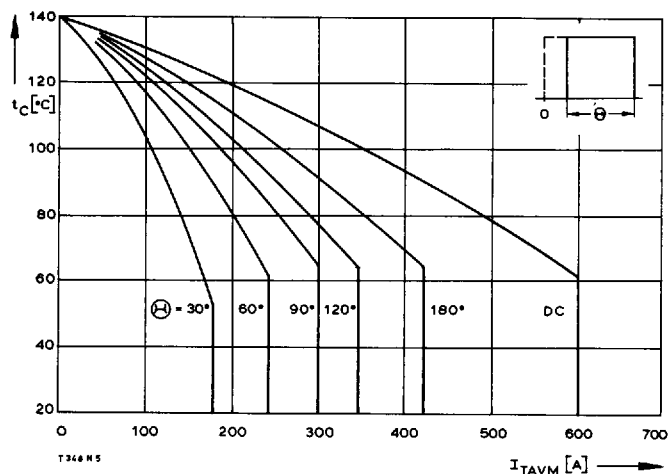
Bild/Fig. 7

Transient inner thermal impedance $Z_{(th)JC}$
Transient thermal impedance, junction case, $Z_{(th)JC}$
— anodenseitige Kühlung/anode sided cooling
— beidseitige Kühlung/two-sided cooling



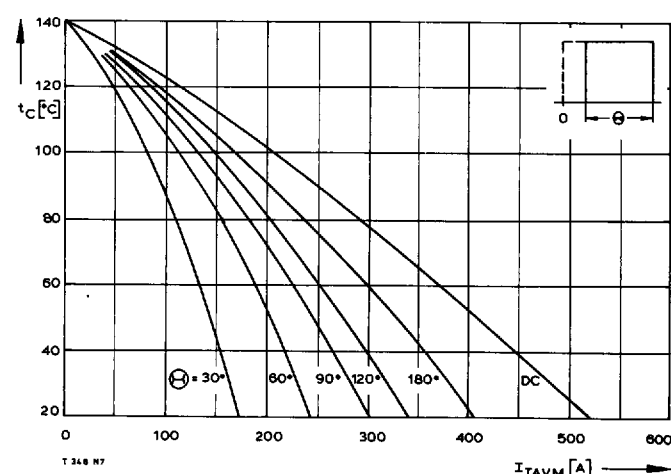
Bild/Fig. 8

Durchlaßverlustleistung P_{TAVM} /On-state power loss P_{TAVM}
Parameter: Stromflußwinkel Θ /current conduction angle Θ



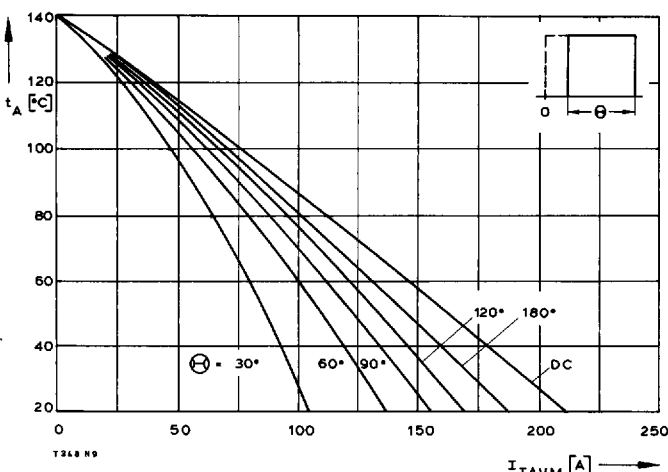
Bild/Fig. 9

Höchstzulässige Gehäusetemperatur t_c bei beidseitiger Kühlung
Maximum allowable case temperature t_c at two-sided cooling



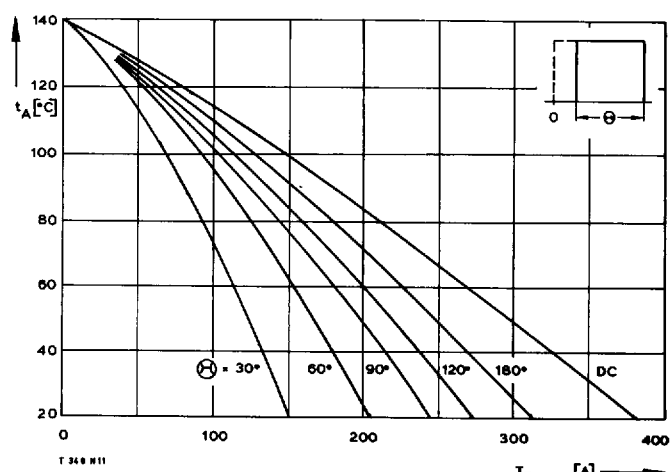
Bild/Fig. 10

Höchstzulässige Gehäusetemperatur t_c bei anodenseitiger Kühlung
Maximum allowable case temperature t_c at anode sided cooling



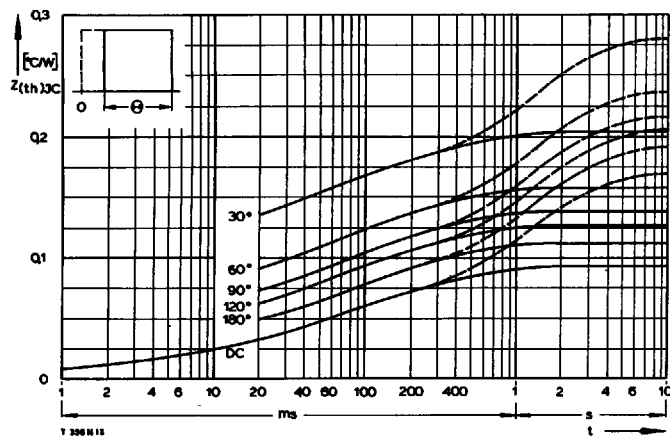
Bild/Fig. 11

Höchstzulässige Kühlmitteltemperatur t_A bei beidseitiger Luftselbstkühlung,
Kühlkörper K 0,36 S.
Maximum allowable cooling medium temperature t_A at natural two-sided cooling,
heatsink type K 0.36 S.



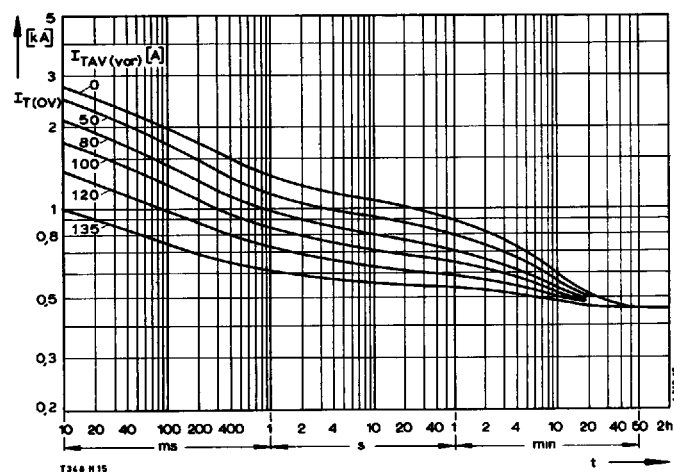
Bild/Fig. 12

Höchstzulässige Kühlmitteltemperatur t_A bei verstärkter beidseitiger Luftkühlung,
Kühlkörper K 0,12 F, $V_L = 50$ l/s.
Maximum allowable cooling medium temperature t_A at forced two-sided cooling,
heatsink type K 0.12 F, $V_L = 50$ l/s.



Bild/Fig. 13

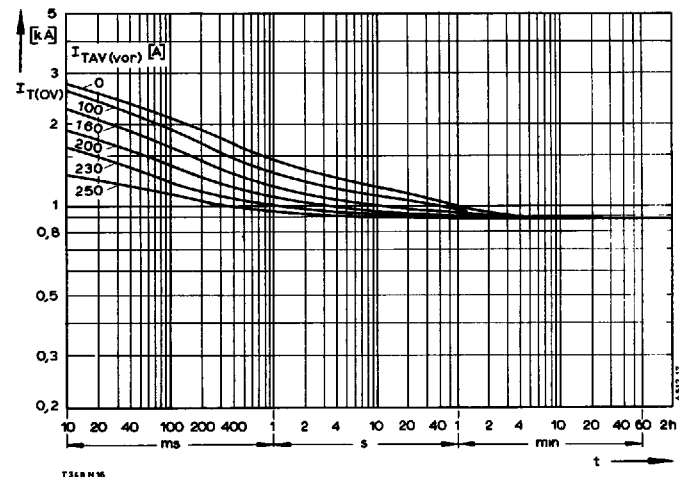
Transienter innerer Wärmewiderstand $Z_{(th)JC}$
Transient thermal impedance, junction case, $Z_{(th)JC}$
— anodenseitige Kühlung/anode sided cooling
— beidseitige Kühlung/two-sided cooling



Bild/Fig. 14
Überstrom I_{TOV} bei beidseitiger Luftselbstkühlung, $t_A = 45^\circ\text{C}$,
Kühlkörper K 0,36 S.

Overload on-state current I_{TOV} at natural two-sided cooling, $t_A = 45^\circ\text{C}$,
heatsink type K 0.36 S.

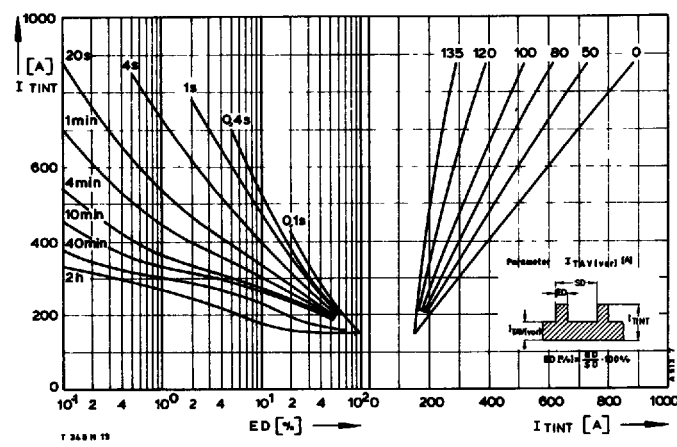
Parameter: Vorlaststrom/pre-load current $I_{TAV(vor)}$



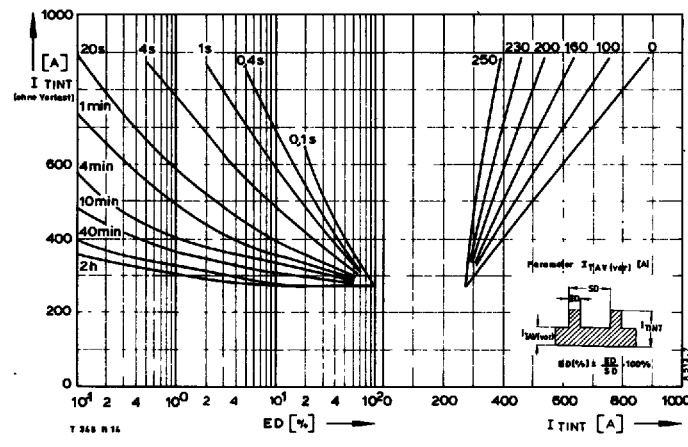
Bild/Fig. 15
Überstrom I_{TOV} bei verstärkter beidseitiger Kühlung, $t_A = 35^\circ\text{C}$,
Kühlkörper K 0,12 F, $V_L = 50$ Vs.

Overload on-state current I_{TOV} at forced two-sided cooling, $t_A = 35^\circ\text{C}$,
heatsink type K 0.12 F, $V_L = 50$ Vs.

Parameter: Vorlaststrom/pre-load current $I_{TAV(vor)}$

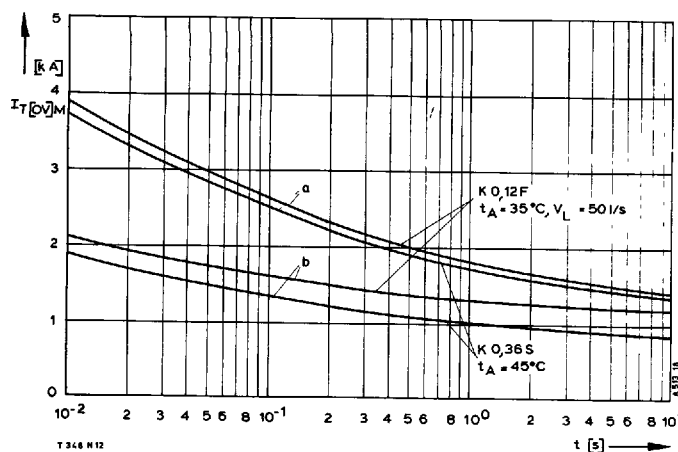


Bild/Fig. 16
Höchstzulässiger Durchlaßstrom I_{TINT} bei Aussetzbetrieb und beidseitiger
Luftselbstkühlung, $t_A = 45^\circ\text{C}$, Kühlkörper K 0,36 S.
Limiting on-state current I_{TINT} during intermittent operation at natural two-sided
cooling, $t_A = 45^\circ\text{C}$, heatsink type K 0.36 S.
Parameter: Spielzeit/cycle duration SD
Vorlaststrom/pre-load current $I_{TAV(vor)}$



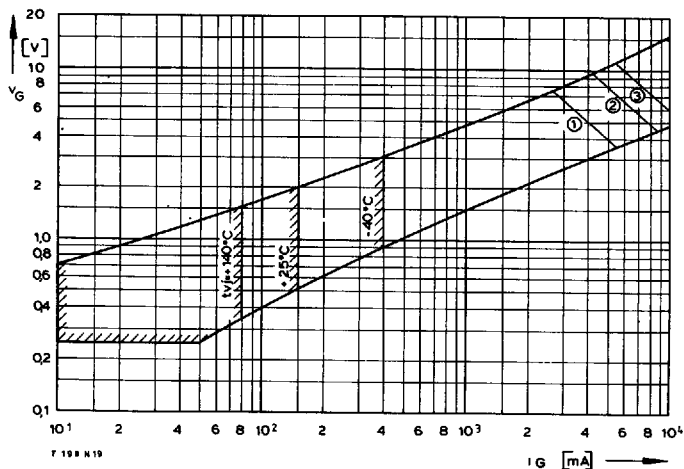
Bild/Fig. 17
Höchstzulässiger Durchlaßstrom I_{TINT} bei Aussetzbetrieb und verstärkter
beidseitiger Luftkühlung, $t_A = 35^\circ\text{C}$, Kühlkörper K 0,12 F, $V_L = 50$ Vs.
Limiting on-state current I_{TINT} during intermittent operation at forced two-sided
cooling, $t_A = 35^\circ\text{C}$, heatsink type K 0.12 F, $V_L = 50$ Vs.
Parameter: Spielzeit/cycle duration SD
Vorlaststrom/pre-load current $I_{TAV(vor)}$

T-25-19



Bild/Fig. 18

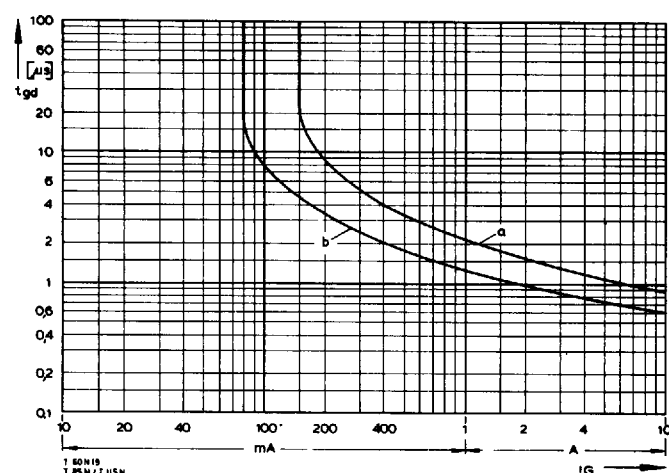
Grenzstrom $I_{T(OV)M}$ bei beidseitiger Kühlung, Kühlkörper K 0,36 S und K 0,12 F, $V_{RM} = 0,8 V_{RPM}$.
 Limiting overload on-state current $I_{T(OV)M}$ at two-sided cooling,
 heatsink type K 0,36 S and K 0,12 F, $V_{RM} = 0,8 V_{RPM}$.
 a - Belastung aus Leerlaufcurrent surge under no-load conditions
 b - Belastung im Anschluß an Betrieb mit Dauergrenzstrom I_{AVW} /
 current surge occurs during operation at limiting mean on-state current
 rating I_{AVW}



Bild/Fig. 19

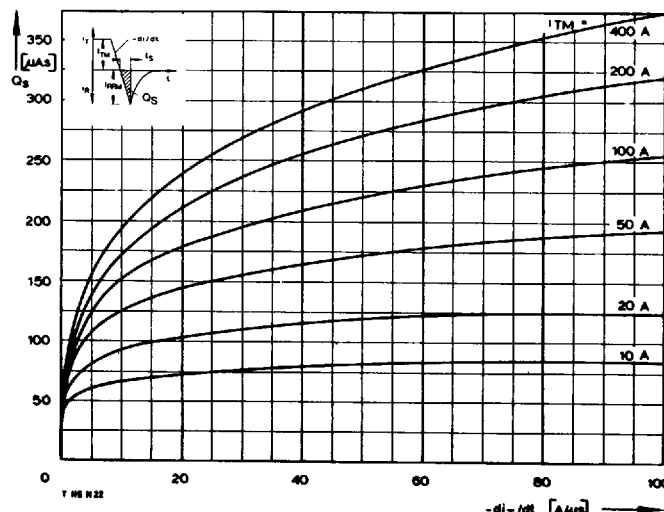
Zündbereich und Spitzensteuerleistung bei $v_D \geq 6$ V.
 Gate characteristic and peak gate power dissipation at $v_D \geq 6$ V.

Parameter:	1	2	3	
Steuerimpulsdauer/Pulse duration t_g	[ms]	10	1	0,5
Höchstzulässige Spitzensteuerleistung/ Maximum allowable peak gate power	[W]	20	40	60



Bild/Fig. 20

Zündverzug t_{gd}
 Gate controlled delay time t_{gd} .
 a - äußerster Verlauf/limiting characteristic
 b - typischer Verlauf/typical characteristic



Bild/Fig. 21

Nachlauffladung Q_S in Abhängigkeit von der abkommunizierenden Stromsteilheit $-di_f/dt$ bei $t_{v_f, max}$.
 Lag charge Q_S versus the rate of decay of the forward on-state current $-di_f/dt$ at $t_{v_f, max}$.